

特种冶金问题

杨 株 吴超万
知 水 王中一
等 编译

1

2

1964

76.1083
b62
2:1

特种冶金問題

2

楊棟 吳超万
知水 王中一
等編譯

中國工業出版社

本书介绍了真空感应精炼动力学理论，氧和镍熔液及镍铁合金间的平衡，真空感应冶炼特殊用途合金，电子束熔炼，结晶过程中用超声波处理金属等方面的文章14篇。这些文章均选译自苏联、日本、欧美各国近年来发表的理论研究成果。本书可供我国有关工程技术人员阅读，参考。

特 种 冶 金 問 題

2

楊 栋 吳超万

知 水 王中一

等編譯

*

冶金工业部科学技术情报产品标准研究所书刊编辑室编辑

(北京灯市口71号)

中国工业出版社出版 (北京市崇文门西大街10号)

(北京市书刊出版营业登记证字第110号)

中国工业出版社第三印刷厂印刷

新华书店北京发行所发行 各地新华书店经售

*

开本 850×1168 · 1/32 · 印张 8³/16 · 字数 217,000

1964年1月北京第一版 1964年1月北京第一次印刷

印数 0001—2,720 · 定价 (10-6) 1.30 元

*

统一书号：15165 · 2893 (冶金-483)

目 录

- 真空感应精炼的动力学理論 E.S.Machlin (1)
氧和鎳熔液及鎳—鐵合金間的
 平衡 J.E.Bowers 等 (34)
鋼用鑄、鋨、鑄、鉻脫氧的熱力學 Г.Кинне等 (53)
真空熔炼金属的理論問題 С.И.Кузьмин (62)
鐵和鋼熔液在高真空下的行為 W.A.Fischer (72)
鋼液在真空中脫氣的機理 И.Вере (100)
真空冶炼的理論和實踐 (續) О.Винклер (108)
真空感应冶炼的特殊用途合金 М.С.Вальмер (140)
不銹鋼和耐熱鋼的真空熔炼 (上) 川畠正夫等 (159)
 真空電弧重熔時漏氣度對耐熱
 合金性能的影響 А.М.Иринин等 (177)
真空感应炉炉衬 А.В.Фролов等 (183)
电渣重熔高合金钢及合金对排除非金属
 夹杂物的影响 М.М.Клюев等 (190)
电子束熔炼 S.R.Scagle等 (204)
結晶過程中用超声波處理金屬 И.И.Теумин (224)

真空感应精炼的动力學理論

E. S. Machlin

真空熔炼所达到的純淨程度；实际上是由动力学，而不是热力学所决定的。然而，对于真空精炼的动力学原理，几乎完全不了解。本文則是介紹一种探索这方面知識的嘗試。

有两个反应需要考慮，第一是精炼反应，第二可称之为沾污反应，这是牽涉到坩埚組成物被帶入熔体的反应。两个反应的机构都还是未知的。可以构成許多假說 [注1] 来描述它們，例如考虑精炼反应， $C + O = CO$ (气)。一种可以設想的假 說是，碳和氧在熔体内化合生成 CO，然后扩散到熔体一气相表面，并在那里逸脫。另一种假說是，碳和氧扩散到熔体一气相表面上，然后化合生成 CO 并逸脫。第三种假說认为，只有熔体一气相表面上的碳和氧才化合生成 CO，并由于新界面的不断提供，而使反应得以延續。还有另外一种假說，提出具有某一厚度但又不能加以划定的凝滞界面层，并认为由于反应物穿过这一层扩散到熔体一气相表面上，在那里，它們化合并逸脫，反应就不断进行 [1-4]。对于精炼反应，可以設想的假說决不止这些。每一个假說都可以提出論据来辯护，然而只有實驗才能給它們以甄別。

本文不想評价所有这些假說。更确切地說，本文的目的在于分析一个特別的假說，发展其定量方面的特点，并将其理論推測同已有的實驗进行对照。可以看到，将导出一些新的关系式。在这种假說提出的理論与已有的不多實驗結果相一致的基础上，建議进行一定的實驗。

理 论

精炼反应 这一理論的基本假定是：在电磁感应的誘導下，

位于熔体—气相表面的熔体，可以看成是没有切变梯度地运动着的。这就是說，气体—金属表面附近的熔体作“刚体”运动（假定該体积內沒有对流）。用流体力学的术语來說，就是界面上的液体金属，其滑脱系数近于零。水力学方面与此类似的情况，可能就是海底里的层流，以及寬闊的河道上接近气—液表面的部分，那里的速度梯度近于零。界面附近的体积元，其刚体运动一直要維持到它不再同气相接触为止。为了不发生反应物穿透这一层的扩散，它还必須有一定的厚度。反应物由这一层本身来供应。

直綫层流条件下，垂直于流体速度传递质点与此速度无关。这样，扩散問題就大大地简化了。現在讓我們把注意力集中到界面附近的一个熔体小单元上。进而，我們考慮該单元內的溶质向熔体—真空中面的传递。这問題表示在图 1 中。此单元同真空气接

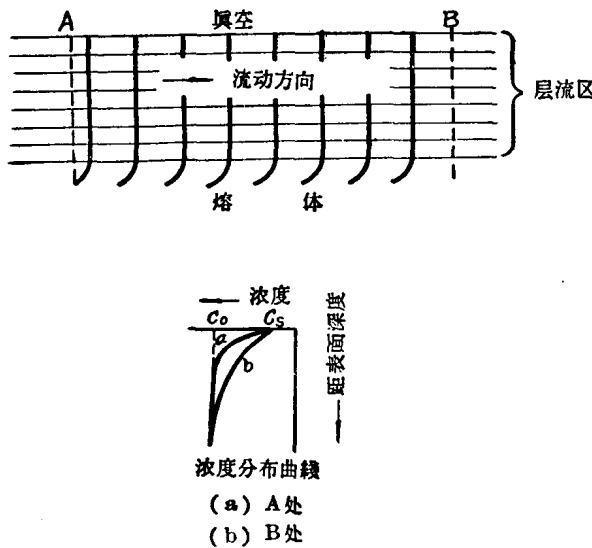


图 1 层流假設示意图

触后，表面上的浓度就会由熔体的平均浓度 C_o ，降低到同气相成平衡的浓度 C_s 。适应于溶质在整个单元内扩散的边界条件如下：

- a) $t=0$, 整个单元中 $C=C_0$
 b) $t>0$, $x=0$, $C=C_s$
 $t>0$, $x\rightarrow\infty$, $C=C_0$, $\frac{dc}{dy}\rightarrow 0$

c) 此单元仅在某一時間間隔 t' 內存在, t' 是由在层流方向上熔体与气相接触的直線距离 y , 除以层流速度 v 的比值算得, 即:

$$t' = y/v \quad (1)$$

上述边界条件的扩散方程的解由

$$\frac{dM}{dA} = \frac{2}{\sqrt{\pi}} (C_0 - C_s) \sqrt{Dt'} \quad (2)$$

算得 [12a], 式中:

$\frac{dM}{dA}$ = 单位熔体—真空间表面面积上的溶质消耗。

D = 熔体中溶质的扩散系数。

这个解的适用条件是, 時間間隔 t' 內 C_0 的減少值远比 C_s 为小。亦即, 溶质自該单元逸脫的整个周期 (即 t' ——譯者) 中, C_0 保持不变。

要得到熔体中溶质浓度的減少速度, 要作下列計算:

$$-\frac{dC_0}{dt} = \frac{dM}{dA} \cdot \frac{dA}{dt} \cdot \frac{1}{V} \quad (3)$$

式中 V 为熔体体积。

$\frac{dA}{dt}$ 是熔体—真空间界面的舖展速度。在舖展的瞬间, 表面上的浓度为 C_0 。

現在, 对一个被电磁感应攪拌的熔池, 其 $\frac{dA}{dt}$ 等于熔体界面层消逝的速度, 即

$$\frac{dA}{dt} = 2\pi rv \quad (4)$$

根据連續原理，流体速度的数值随半径而变，并由 $2\pi\xi v \xi = \text{常数}$ 来确定，式中 ξ 是径向矢量的数值，它在 0 到 r 间变化。这时，

$$t' = \int_0^r \frac{d\xi}{v_\xi} = \int_0^r \frac{\xi}{vr} d\xi = \frac{r}{2v}$$

因此距离 $y = \frac{r}{2}$ ，熔体体积为 $\pi r^2 h$ 。将相当的值代入就得到

$$-\frac{dC_0}{dt} = 2(C_0 - C_s)(2Dv/\pi rh^2)^{1/2} \quad (5)$$

〔方程 (5) 中的速度 v 为熔池半径 r 上的速度〕

現在可以証明关于 $\left| -\frac{dC_0}{dt} t' \right| \ll C_0$ 的假設。

$$\begin{aligned} -\frac{dC_0}{dt} \times t' &= 2(C_0 - C_s)(2Dv/\pi rh^2)^{1/2} \frac{r}{2v} \\ &= (C_0 - C_s)(2Dr/\pi vh^2)^{1/2} \end{aligned}$$

后一括号中諸参数可以用下列数值代入： $D = 10^{-4}$ 厘米²/秒^[6]， $r = 7$ 厘米， $h = 7$ 厘米， $v = 10$ 厘米/秒。

这些值都是能使該数值尽可能大的接近极限值。采取这些数值时

$$\left| -\frac{dC_0}{dt} \times t' \right| = 10^{-3}(C_0 - C_s)$$

因此就証明了界面上任一单元，在很长時間內 C_0 保持恒定。

理论与实验的比较 要得到理論速度常数 $2(2Dv/\pi rh^2)^{1/2}$ 的数值，必須知道三个因素，即扩散系数 D 、速度 v 以及熔池大小， r 和 h 。可惜，能和相应的實驗值对照的資料一个也沒有。然而在下述事实的基础上，有可能取得一个理論速度常数的数量級估計。即，一定溫度下測得的扩散系数相差不超过10倍；以及作者在100克到200磅的不同感应炉上，根据对浮在熔体面上的颗粒运动速度的觀察，在波动不超过一个数量級的情况下，估計速度 v 为 10 厘米/秒。于是对一定的熔池大小，理論速度常数的可能誤差就在 $(10 \times 10)^{1/2} = 10$ 倍以内。不幸，在許多情况下，为

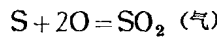
了能够对理論作严格的驗証，这种誤差值太大了。然而在某些特殊的情况下，速度常数的誤差会比該值小一些。

真空蒸发 最近曾发表过鉄液中溶质蒸发方面的資料^[5]，这些資料之間相互有矛盾。例如Olette^[5a]提出下列蒸发速度次序： $Pb > Mn > Cu > Sn$ ，而Gill及其同事^[5b]則得到这样的次序： $Sn, Mn \gg Pb \gg Cu$ 。Olette曾发现，借被蒸发的溶质份数与鉄的份数之比，并能从理論上解释类似的矛盾。这表明：与液相挨着的气相中，蒸发着的溶质分压不等于真空室內的蒸汽压，而同蒸汽一熔体界面上，被蒸发的溶剂的实际压力有关。这样，溶质蒸发的总速度可能是一种串联的速度：即，溶质自熔剂的蒸发速度和溶质穿过气相的迁移速度。这两个速度对熔体一蒸汽表面上的界面层状态都很敏感。这些状态取决于整个界面层的开始状态，在守恒状态下由上述二速度相等时来确定蒸发速度。因此 Olette 的資料不适用于驗証（5）。另一方面，Gill等人的資料，由于他們的装置——靠近熔池有一个冷凝面——使总蒸发速度中，蒸汽扩散的影响減至最小，因而作为这里的驗証比較合适。但即使在他們的資料中也只有起始的蒸发速度才可作驗証使用。然而，即使在这样的情形下，也还不能获得滿意的对照。Gill 等人作蒸发实验的那些溶质中，唯Mn在Fe中的扩散系数是現成的，而Gill 他們只測定了Mn蒸发速度的最小值。实验的速度常数大于 0.35/分，而在 Gill 的条件下 ($D_{Mn} = 10^{-4}$ 厘米²/秒, $r = 1.5$ 厘米, $h = 2$ 厘米, v 估計为 10 厘米/秒) [注 2]，其理論值为 0.5/分，达到可相比拟的程度。有意思的是，对于这一过程，与根据 Olette 的实验条件 ($D_{Mn} = 10^{-4}$ 厘米²/秒, $r = 2.5$ 厘米, $h = 5$ 厘米, v 估計为 10 厘米/秒) [注 2]，所得的速度常数理論值 0.15/分相比，他的实验值为 0.05/分。因而，在預計的一个数量級的波动范围内，发现理論同文献不一致。

确实遺憾的是，关于由扩散过程限制的溶质蒸发，还没有驗証其定量的假說所需要的資料。值得指出的一点：在大規模生产的真空感应炉冶炼中，不知道哪个是限制速度的环节，并且連坩

埚盖使用得不一致也会造成限制速度环节的改变。

脱硫 方程(5)应当也直接适用于熔体—蒸汽界面上发生的化学反应。其中之一就是



该反应在铁基熔体中，由于其同通常能达到的 SO_2 分压成平衡的%S值比较高，所以不能完成。然而在镍基合金中却可以实现。适用的方程式为：

$$\frac{P_{\text{SO}_2}}{(\%S^0)(\%O^0)^2} = K_6 \quad (6)$$

$$\frac{d\%S}{dt} = L_g^*(\%S - \%S^0) \quad (7)$$

$$\frac{d\%O}{dt} = L_g^*(\%O - \%O^0) \quad (8)$$

以及 $L_g^*(\%S - \%S^0) = \frac{M_s}{2M_0} L_g^*(\%O - \%O^0) \quad (9)$

式中 $L_g^* = 2(2Dv/\pi rh^2)^{1/2} \quad (10)$

是组分x的反应速度常数。

P_{SO_2} 是熔体—蒸汽界面上的 SO_2 分压。

% S^0 , % O^0 是熔体—蒸汽界面上的硫和氧浓度。

M_x 是组分x的克原子量。

共有五个变量——% S^0 、% O^0 、%S、%O、和t——以及四个方程式。于是在一定的初始条件下，就可以得到前四个参变量的时间函数。只要%O超过同坩埚成平衡的浓度，坩埚—熔体反应对上述动力学过程的影响就可以忽略。加之，只要%O \gg %S，以及 $(\%S)(\%O)^2 \gg (\%S^0)(\%O^0)^2$ ，就有% $S^0 \ll %S$ [注3]。这种情况下，脱硫速度由硫的扩散控制，并由(7)式进行计算。实验已由Metals Division, Kelsey-Hayes公司的Huntington完成，结果与理论相符。所得资料示于图2中。脱硫在氧化镁坩埚中进行。母液是80%Ni和20%Co的合金。用加入氧化镍的办法来达到所需要的含氧量。如图2所示，实验得出的关系可表示为：

$$\log \frac{\% S}{\% S_{\text{初始}}} = -2.4 \times 10^{-4} - \frac{1}{\text{秒}} \times t$$

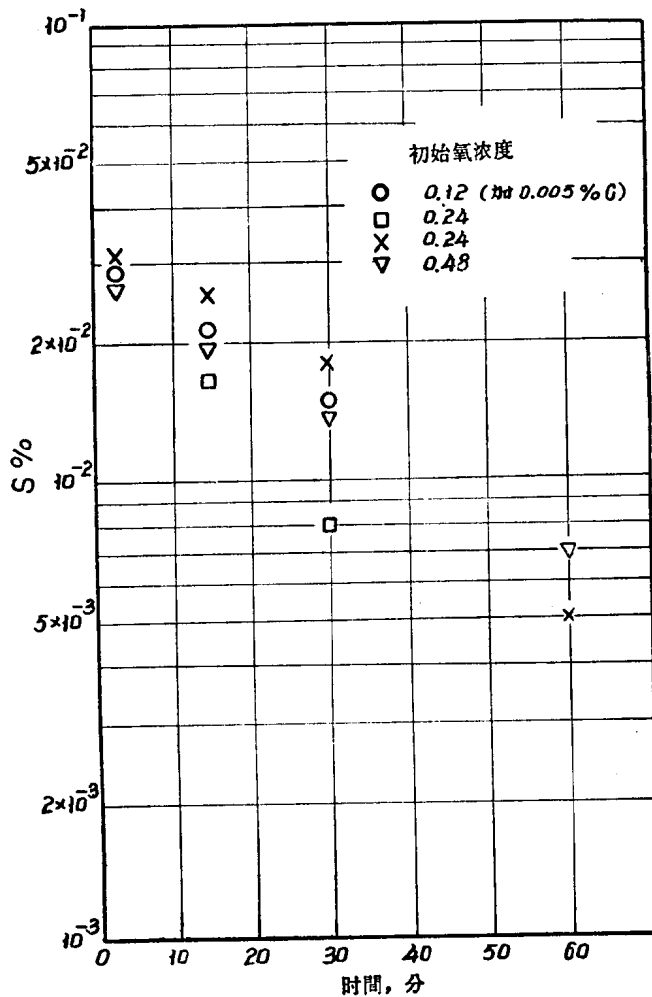


图 2 80% Ni—20% Co 合金中的脱硫。温度 1520°C, 6 磅的熔池, 压力为 10^{-6} 大气压, 时间从熔清后算起 (不含氧时脱硫不发生)

现在, 若将条件 $\% S^0 \ll \% S$ 代入方程式 (7), 就可得到关

系式：

$$\log \frac{\% S}{\% \text{ 初始}} = - \frac{1}{2.3} \left(2 \sqrt{\frac{2Dv}{\pi rh^2}} \right) \times t \quad (11)$$

在 $D_s \approx 3 \times 10^{-6}$ 厘米/秒 [注 4]， $1 \leq v \leq 10$ 厘米/秒 [注 5]， $r = 3.2$ 厘米， $h = 10$ 厘米的情况下，就有 $2.1 \times 10^{-4} \leq \frac{2}{2.3} \sqrt{\frac{2Dv}{\pi rh^2}}$

$\leq 6.7 \times 10^{-4} \frac{1}{\text{秒}}$ 。将此数值范围同实验值 $2.4 \times 10^{-4} \frac{1}{\text{秒}}$ 比

较，实验值在推測值的范围内。因此可以断定，推荐的假說与实验数据不矛盾。当然，更高的要求是获得对 [11] 式的更严格的定量性驗証，其中包括获得等式右边各参数的测定值。

脱氧 脱氧反应， $C + O = CO$ (气)，也可以在这一节中考虑。然而，因为大多数坩埚都是耐火氧化物做的，所以在实验上，很难单凭碳与氧的化学分析来区分脱氧反应同沾污(坩埚—熔体)反应。因此，氧化物坩埚內的熔体脱氧問題的处理就得擱到較后一节中去。可以設想，将来熔体可以在无氧化物的坩埚中脱氧。这种特定条件下，类似于前面脱硫一节中的处理方法就适用了。值得指出的是，与脱硫一节中差不多，在 $\%C \gg \%O$ 的情况下，刚性流假說认为脱氧速度将由氧的扩散所控制，反过来也一样 (即当 $\%O \gg \%C$ 时，由碳的扩散所控制——譯者)。这两种情形都是一級反应。

假說推測的动力学过程，不适用于沸腾所完成的脱氧。尽管沸腾在脱氧动力学中是最重要的过程，但是假說只考虑脱氧的揮发阶段，因此就应当只适用于无沸腾的脱氧阶段。沸腾阶段的动力学将在下一节中考虑。

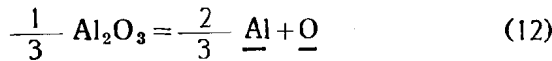
坩埚—熔体反应 (沾污反应) 近代对坩埚—熔体反应的处理，假定存在着一种靜态界面层，反应物必須借扩散穿过它^[3,4]。靜态界面层无疑是存在的。但是对于坩埚壁上熔体的可能流动型式，要計算或测量其界面层厚度却有困难。甚而即使能够計算出适当的界面层厚度近似值，也不能肯定过去和現在所用的是真正的

界面层厚度。这是說，过去曾假定，浓度梯度区的有效厚度($\sqrt{Dt^l}$)等于准层流界面层厚度。当然也可能不相等。

可以注意两种极端情形，假如($\sqrt{Dt^l}$) [注6] 大于界面层厚度，则在那种涡流比連續刚性流直径($h/2$)小很多的情况下，刚性流假說推測的溶质迁移速度就会偏低。如果涡流大小与連續刚性流直径($h/2$)相当，则刚性流假說应当能正确地推測溶质迁移速度。另一方面，若($\sqrt{Dt^l}$) 小于界面层厚度，则刚性流假說推測的溶质迁移速度就会偏高。如将証明的，沾污反应速度偏高的結果是，守恒状态的氧浓度理論值大于實驗值，反之亦然。本文是以这样一种可能性为根据的，蒸汽一熔体界面上的精炼反应的定量处理是一种适当的近似。这就意味着，實驗結果与“刚性流”假說的推測相比較，可以提供包括实际界面层状况在内的有用报告。

下一节中将看到，實驗值的波动可能超出推測的数值范围。由于刚性流假說的方程式比較簡單，所以在下面的脫氧問題處理中采用了这种理論。但是作者无意通过这种處理来表示挨着坩埚壁的流体是“刚性”的。正相反，可能是湍流。然而这并不減少对一个简单的定量假說的滿足。这种假說在同實驗比較的基础上，将为創造更严格的理論提供参考。作者并不认为實驗数据精确，就能証明理論的严密。如将看到的，刚性流假說的定量性推測与實驗資料在誤差范围内吻合。总之，可以认为，这种處理比以前的是进了一步，以前假設层流界面层厚度同扩散层(浓度一滲透)的有效厚度近似，并就用这厚度值來說明結果。

脫氧与坩埚反应同时进行 考慮反应：



和



現在，按刚性流假說，由以下七个方程式来描述反应速度：

$$(\% \text{Al}^*)^{2/3} (\% \text{O}^*) = K_{14} \quad (14)$$

$$\frac{P_{CO}}{(\%C^0)(\%O^0)} = K_{15} \quad (15)$$

$$\frac{d(\%Al)}{dt} = L_{cm}^{Al} (\%Al^* - \%Al) \quad (16)$$

$$\frac{d(\%O)}{dt} = L_{cm}^o (\%O^* - \%O) - L_g^o (\%O - \%O^0) \quad (17)$$

$$\frac{D_{Al}^{1/2}}{M_{Al}} (\%Al^* - \%Al) = \frac{2}{3} \frac{D_O^{1/2}}{M_O} (\%O^* - \%O) \quad (18)$$

$$L_g^c (\%C - \%C^0) = - \frac{d(\%C)}{dt} = L_g^c \frac{M_C}{M_O} (\%O - \%O^0) \quad (19)$$

式中 $L_{cm}^x = 2 \left[\frac{2}{\pi} D_x v \left(\frac{2}{r^2 h} + \frac{1}{rh^2} \right) \right]^{1/2}$ [注 7]

$$L_g^x = 2(2D_x v / \pi r h^2)^{1/2}$$

七个方程式，八个未知数 ($\%Al^*$ 、 $\%O^*$ 、 $\%Al$ 、 $\%O$ 、 $\%C$ 、 $\%C^0$ 、 $\%O^0$ 和 t)，就可以把前七个变数全表示成后一个变数 t 的函数。方程式的精确求解是可以的，但麻烦些。对于含碳较高的熔体，可以作一个把问题大大简化的近似。这时，对高真空来说可以假定 $\%O^0 \ll \%O$ 。这样问题就简化为四个方程，即 (14)、(16)、(17) 及 (18)，和五个变数， $\%Al^*$ 、 $\%O^*$ 、 $\%Al$ 、 $\%O$ 和 t 。

解这些方程式可以回答两类问题。一是 $\%Al$ 、 $\%O$ 和 $\%C$ 的变化速度，另一个是这些溶质在浓度随时间变化的过程中，当临近“渐近阶段”的初期时，它们的浓度。“渐近阶段”的意思示于图 3。如图所示， $\%O$ 的变化从起初的快速度趋向一个非常小的数值，但不是无限小的速度，并一直维持到 $\%C$ 近于枯竭的时候。当后者发生时，方程式要求 $\%O^0$ 、 $\%O$ 及 $\%Al$ 增加到 $\%O^0 = \%O = \%O^*$ 及 $\%Al = \%Al^*$ ，即趋于平衡。这种现象图解于图 4。

在 $\frac{d\%O}{dt} = 0$ 的情况下， $\%O^0 \ll \%O$ 不再成立。然而这种现象只有在低碳冶炼中才能在一般的脱氧期内达到。高碳熔炼中，一般

脱氧期只在“渐近阶段”初期附近。可以认为“渐近阶段”初期的成分就相当于高碳熔体在真空感应熔炼中能够达到的成分。因而，求出刚性流假说推论的这些组成值是很有意思的。

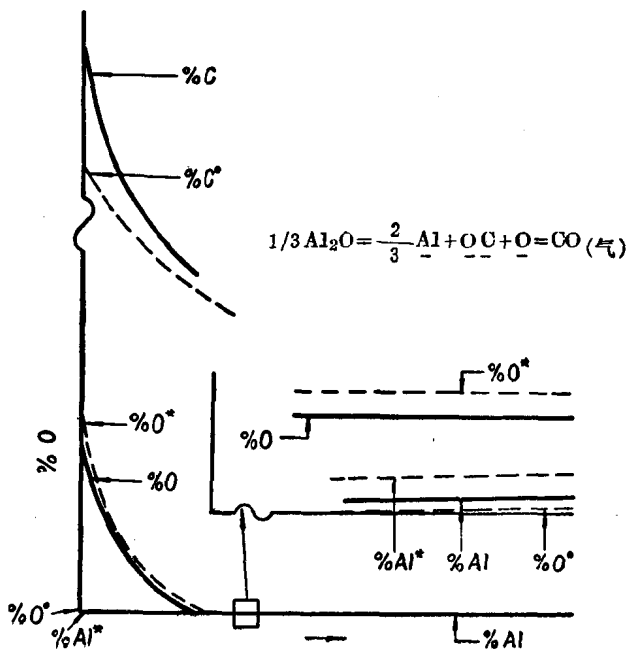


图 3 氧化铝坩埚内，高碳熔体在真空中用碳脱氧的浓度—时间图。内图在放大的坐标上表示，含碳缓慢下降的“渐近”阶段中，%O、%Al与时间的关系

首先要假定“渐近阶段”的脱氧速度可以忽略，即 $\frac{d\%O}{dt} = 0$ 。

于是根据(17)以及高真空中高碳熔体的情况($\%O^0 \ll \%O$)：

$$\%O = \frac{L_{cm}^0}{L_{cm}^0 + L_g^0} \times \%O^* = \left[\frac{(2h+r)^{1/2}}{(2h+r)^{1/2} + r^{1/2}} \right] [\text{注 8}] \times \%O^* \quad (20)$$

代入(18)，并用(14)换掉其中的 $\%O^*$ ，得一个以 $\%Al^*$ 表示

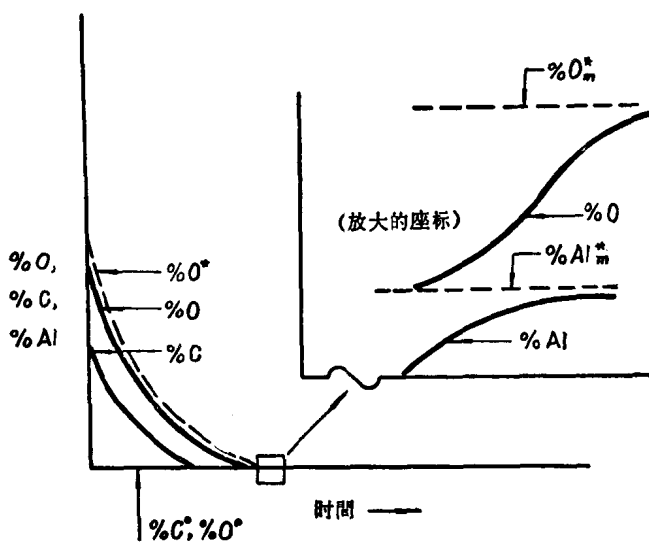


图 4 氧化铝坩埚中低碳熔体在真空中用碳脱氧的浓度—时间图。内图的浓度及时间座标都是放大的的
的%Al的方程式，即

$$\% \text{Al} = \% \text{Al}^* \times \frac{P}{(\% \text{Al}^*)^{2/3}} \quad (21)$$

式中 $P = \frac{2}{3} \frac{M_{\text{Al}}}{M_{\text{O}}} \frac{D_{\text{O}}^{1/2}}{D_{\text{Al}}^{1/2}} \left(\frac{r^{1/2}}{(2h+r)^{1/2} + r^{1/2}} \right) \times K_{14}$

微分 (21) 得 $\frac{d\% \text{Al}}{dt}$ ，将其同 (21) 一起代入 (16) 得 $\% \text{Al}^*$ 和 t 的微分方程。积分，得：

$$\frac{2}{5} (\% \text{Al}^{*5/3} - \% \text{Al}_i^{*5/3}) + \frac{2}{3} P \ln \frac{\% \text{Al}^*}{\% \text{Al}_i^*} = L_{\text{cm}}^{\text{Al}} Pt \quad (22)$$

下标 i 表示 $t=0$ 时的数值。 $\% \text{Al}^*$ 的起始值，即 $\% \text{Al}_i^*$ 可由

$$\frac{K_{14}}{\% \text{Al}_i^{*2/3}} - \frac{\% \text{Al}_i^*}{\frac{2}{3} \frac{D_{\text{O}}^{1/2}}{D_{\text{Al}}^{1/2}} \frac{M_{\text{Al}}}{M_{\text{O}}}} = \% \text{O}_i - \frac{\% \text{Al}_i}{\frac{2}{3} \frac{D_{\text{O}}^{1/2}}{D_{\text{Al}}^{1/2}} \frac{M_{\text{Al}}}{M_{\text{O}}}} \quad (23)$$

算得。因而 (22) 将 $\% \text{Al}^*$ 确定为时间的函数。于是， $\% \text{Al}$ 的时

間函数也就由 (21) 确定。同样，%O*被 (14) 以及 %O 被 (20) 确定。对于大多数“漸近阶段”的測量，总的精炼時間約在1—5 小时。現在可以計算精炼一小时后的浓度。第一步是估計 P 和 L_{cm}^{Al} 的数值范围。可以认为 D_0/D_{Al} 比 1 大，但小于測得扩散系数比的最大数值 13 [6]。假定 D_0 在 10^{-4} — 10^{-3} 厘米²/秒之間——即同碳在鐵中的扩散系数同一数量級。最后，平衡常数 K_{14} ，根据 Gokcen 和 Chipman [7] 的資料，等于 4.6×10^{-5} 。新近 Fischer 和 Hoffmann [8] 曾对高碳熔体測定过 %O 和 %Al 的時間函数，其中 $\%O_1 = 1.4 \times 10^{-2}\%$ 、 $\%Al_1 = 7 \times 10^{-3}\%$ ，熔池大小为 $r = 4.3$ 厘米， $h = 8.6$ 厘米。根据估計的数值范围以及上述初始条件，推測精炼一小时后諸浓度会有以下数值 [注 9]：

$$\begin{aligned} 4.4 \times 10^{-4} &\leq \%O \leq 6.4 \times 10^{-4} \\ 1.1 \times 10^{-2} &\leq \%Al \leq 1.9 \times 10^{-2} \\ 6.3 \times 10^{-4} &\leq \%O^* \leq 9.3 \times 10^{-4} \\ 1.1 \times 10^{-2} &\leq \%Al^* \leq 2.0 \times 10^{-2} \end{aligned}$$

还有，推測鋁浓度的增加速度为

$$6.6 \times 10^{-3}\%/\text{小时} \leq \frac{d\%Al}{dt} \leq 1.4 \times 10^{-2}\%/\text{小时}$$

Fischer 和 Hoffmann 觀察到的實驗值为：

$$\%O = 1 \times 10^{-3}\%$$

$$\%Al = 3 \times 10^{-2}\%$$

及 $\frac{d\%Al}{dt} = 2 \times 10^{-2}\%/\text{小时}.$

尽管不一定有什么含义，推測值与觀察結果之間的一致还是显著的。在分析推測与觀察結果間的偏離以前，先來討論一下理論的進一步推測。

对于含碳較高的熔体理論預言：只要其他条件不变，相当于熔毕后某一定時間的 %O、%Al 和 $\frac{d\%Al}{dt}$ 与含碳量无关。Fischer 和 Hoffmann 觀察到，初始含碳为 0.17%、1.03% 和 2.08% 的三个熔炼，其浓度如下：